



**DEPARTAMENTO  
DE COMPUTACION**

Facultad de Ciencias Exactas y Naturales - UBA

# Trabajo Práctico Número 2

---

8 de Abril de 2016

Algoritmos y Estructuras de Datos III

Integrante	LU	Correo electrónico
Ciruelos Rodríguez, Gonzalo	063/14	gonzalo.ciruelos@gmail.com
Costa, Manuel José Joaquín	035/14	manucos94@gmail.com
Gatti, Mathias Nicolás	477/14	mathigatti@gmail.com
Maddonni, Axel Ezequiel	200/14	axel.maddonni@gmail.com



**Facultad de Ciencias Exactas y Naturales**  
**Universidad de Buenos Aires**

Ciudad Universitaria - (Pabellón I/Planta Baja)

Intendente Güiraldes 2160 - C1428EGA

Ciudad Autónoma de Buenos Aires - Rep. Argentina

Tel/Fax: (54 11) 4576-3359

<http://www.fcen.uba.ar>

# Índice

<b>1. Una Nueva Esperanza</b>	<b>4</b>
1.1. Explicación formal del problema . . . . .	4
1.2. Explicación de la solución . . . . .	5
1.2.1. Nuevo grafo para el modelado . . . . .	5
1.2.2. Correctitud y optimalidad . . . . .	6
1.2.3. Explicación del código . . . . .	8
1.3. Complejidad del algoritmo . . . . .	10
1.4. Performance del algoritmo . . . . .	10
1.4.1. Método de experimentación . . . . .	10
<b>2. El Imperio Contraataca</b>	<b>11</b>
2.1. Explicación formal del problema . . . . .	11
2.2. Explicación de la solución . . . . .	11
2.2.1. Explicación del código . . . . .	11
2.2.2. Pseudocódigo . . . . .	11
2.2.3. Correctitud . . . . .	11
2.2.4. Optimalidad . . . . .	11
2.3. Complejidad del algoritmo . . . . .	11
2.3.1. Complejidad en peor caso . . . . .	11
2.3.2. Complejidad en mejor caso . . . . .	11
2.4. Performance del algoritmo . . . . .	11
2.4.1. Método de experimentación . . . . .	11
<b>3. El Retorno del <del>que te</del> Jedi</b>	<b>12</b>
3.1. Explicación formal del problema . . . . .	12
3.2. Explicación de la solución . . . . .	12
3.2.1. Explicación del código . . . . .	12
3.2.2. Pseudocódigo . . . . .	12
3.2.3. Correctitud . . . . .	12
3.2.4. Optimalidad . . . . .	12
3.3. Complejidad del algoritmo . . . . .	12
3.3.1. Complejidad en peor caso . . . . .	12
3.3.2. Complejidad en mejor caso . . . . .	12

3.4. Performance del algoritmo . . . . .	12
3.4.1. Método de experimentación . . . . .	12
<b>4. Apéndice</b>	<b>13</b>

# 1. Una Nueva Esperanza

## 1.1. Explicación formal del problema

Sea  $G = (V, E)$  un grafo simple conexo con  $n \geq 2$  vértices y  $m$  aristas. Además sea  $M \subseteq E$  tal que  $M \neq \emptyset$ . Se desea hallar un camino (no necesariamente simple) de  $v_0$  a  $v_{n-1}$  que pase al menos dos veces por un eje de  $M$  (potencialmente el mismo) y que tenga longitud mínima.

En la figura (1) pueden verse tres ejemplos. Los tres son muy parecidos pero permiten ilustrar distintas situaciones. En el primero (de izquierda a derecha y de arriba a abajo) encontramos el camino simple  $P = (v_0, v_1, v_3, v_4, v_5)$  de longitud 4 que cumple con lo pedido pues tiene dos aristas especiales y es de longitud mínima.

En el segundo se agregó una arista corriente entre los nodos  $v_0$  y  $v_5$ . Puede notarse que en este caso el mejor camino es  $P = (v_0, v_2, v_0, v_5)$  de longitud 3, el cual claramente no es simple pues pasa dos veces por el vértice 0.

En el último caso, la arista recientemente agregada pasa a ser especial. Al hacer esto tenemos dos caminos de longitud mínima entre los que pasan por dos aristas especiales: el  $P$  que encontramos antes, y  $P' = (v_0, v_5, v_0, v_5)$ . Notar que  $P'$  no solo no es simple, sino que también usa a  $v_5$  como nodo intermedio. Cualquiera de los dos es igualmente aceptable.

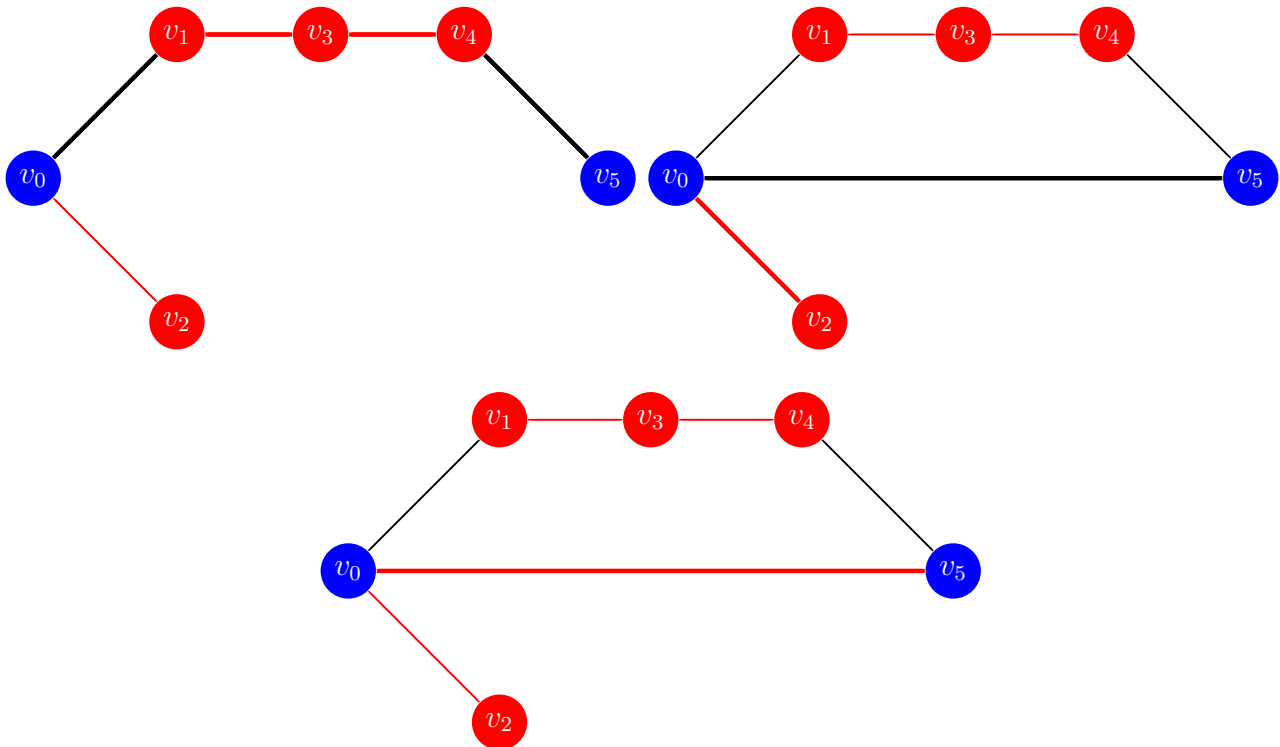


Figura 1: Ejemplos del problema. Las aristas especiales están pintadas de rojo y las comunes de negro. Las aristas que pertenecen a la solución están engrosadas. En azul distinguimos a los nodos inicial y final.

## 1.2. Explicación de la solución

Si bien lo que se pide es, en definitiva, encontrar un camino mínimo en  $G$ , la dificultad adicional que implica hacer que el camino contenga al menos dos aristas de  $M$  hace que no podamos aplicar de forma directa los algoritmos clásicos para este propósito. Para solventar esto consideraremos un grafo alternativo a  $G$ ,  $G'$ , con el cual resolver el problema planteado originalmente será equivalente a encontrar un camino mínimo en  $G'$  de forma tradicional (en este caso utilizando BFS).

### 1.2.1. Nuevo grafo para el modelado

Lo primero que haremos es armarnos un grafo nuevo  $G'$  a partir de  $G$ .

Consideramos tres grafos isomorfos a  $G$ :  $G_0 = (V_0, E_0)$ ,  $G_1 = (V_1, E_1)$  y  $G_2 = (V_2, E_2)$ , tales que  $f_k : V \rightarrow V_k / f_k(v_i) = v_{k \times n + i}$  para  $k \in \{0, 1, 2\}$  son las biyecciones correspondientes. En particular,  $G_1 = G$ . La figura (2) ilustra la situación para un ejemplo puntual.

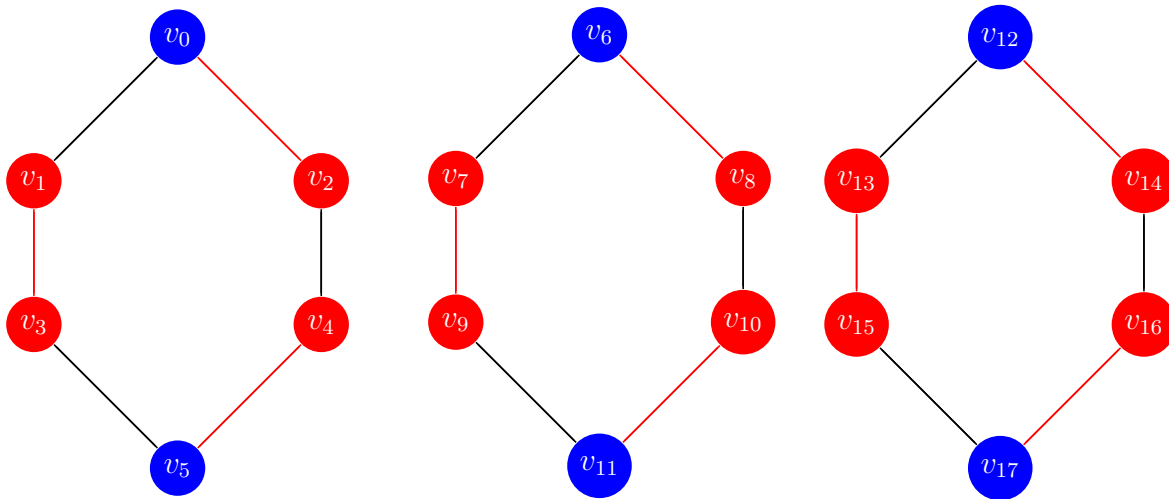


Figura 2: Tres isomorfismos del grafo original, contruidos de la forma indicada.

Además, definimos  $M'$ , un conjunto de arcos (aristas orientadas) de peso 1, como

$$M' = \{(f_0(v), f_1(w)) \text{ y } (f_0(w), f_1(v)) / (v, w) \in M\} \cup \{(f_1(v), f_2(w)) \text{ y } (f_1(w), f_2(v)) / (v, w) \in M\}$$

Por ejemplo, en la figura (2) la arista  $(v_0, v_2) \in M$ . Entonces queremos que  $M'$  tenga los arcos  $(v_0, v_8)$ ,  $(v_2, v_6)$ ,  $(v_6, v_{14})$  y  $(v_8, v_{12})$ . Observar que en  $M'$  solo hay arcos que van de nodos de  $G_0$  a nodos de  $G_1$ , y de  $G_1$  a  $G_2$ . En ningún caso hay arcos de  $G_t$  a  $G_h$ , con  $h < t$ ; ni arcos que vayan directamente de  $G_0$  a  $G_2$ .

Entonces hasta acá tenemos tres grafos conexos isomorfos. Podemos pensarlos como las tres componentes conexas de un grafo con  $3n$  vértices y  $3m$  aristas. A continuación uniremos estas tres componentes mediante los arcos de  $M'$ : sea  $G^* = (V_1 \cup V_2 \cup V_3, E_1 \cup E_2 \cup E_3 \cup M')$ .

Podemos pensar a  $G^*$  con la siguiente analogía: cada una de las tres componentes es un nivel, y los arcos “escaleras mecánicas” que permiten subir de un nivel al siguiente en forma unidireccional y que no se saltea niveles. Notar que entonces  $G'$  no es fuertemente conexo pues desde un nodo del nivel 2 o 3 no puedo alcanzar a un nodo en el nivel 1. Sin embargo, para

cualquier vértice en el nivel 1 todos los vértices del grafo son alcanzables. En particular esto vale para  $v_0$ .

Finalmente, definimos a  $G'$  como el resultado de quitarle a los niveles 0 y 1 de  $G^*$  todas las “aristas isomorfas” a las aristas de  $M^1$ . En este caso ya no es cierto que cualquier vértice de  $G'$  sea alcanzable desde cualquier vértice del primer nivel: en efecto, si vemos la figura (2), al quitarle las aristas especiales al primer nivel el nodo  $v_5$  no es alcanzable desde el  $v_1$ . No obstante, sigue valiendo el siguiente lema:

**Lema 1.1:** Todo vértice del tercer nivel (nivel 2) de  $G'$  es alcanzable desde todo vértice del primer nivel (nivel 0).

**Demostración:** Sean  $u, w \in V_1$  (es decir, ambos del nivel 0). Supongamos que  $w$  no es alcanzable desde  $u$  en  $G'$ . Como  $G_1$  inicialmente era conexo, esto significa que existía camino de  $u$  a  $w$ ,  $Q$ , y seguro incluía alguna arista especial (sino seguiría existiendo en  $G'$  y  $w$  sería alcanzable desde  $u$ ). Como todos los nodos que eran incidentes a una arista especial en  $G_1$  son incidentes a un arco en  $G'$ , seguro existe  $z \in Q$ , tal que  $z$  es incidente a un arco que permite pasar al segundo nivel. Luego, es posible llegar desde  $u$  a algún vértice del segundo nivel. Si no existe tal nodo  $w$ , entonces cualquier nodo del primer nivel es alcanzable desde  $u$ , y como  $M$  no era vacío, entonces seguro hay un camino desde  $u$  hasta el segundo nivel.

Es fácil ver que exactamente el mismo razonamiento se puede realizar para probar que es posible llegar desde cualquier nodo del segundo nivel a algún nodo del tercer nivel. Luego, por concatenación de ambas cosas, es posible llegar desde cualquier nodo del primer nivel a algún nodo del tercero. Pero como el tercer nivel sigue siendo conexo (pues nunca quitamos las aristas especiales) entonces es claro que esto es equivalente a poder llegar a cualquier nodo del tercer nivel.  $\square$

Debido a este lema, y como todas las aristas de  $G'$  tienen peso 1, es posible aplicar el algoritmo BFS para hallar el camino mínimo entre un nodo del nivel 0 y otro del 2. Particularmente, entre los nodos 0 y  $3n - 1$ .

En la sección siguiente probaremos que esto es equivalente a resolver el problema planteado originalmente.

### 1.2.2. Correctitud y optimalidad

La siguiente proposición garantiza la correctitud de nuestra solución.

**Proposición 1.1:** Sea  $P' = (v_0, u_1, \dots, u_k, v_{3n-1})$  un camino mínimo de  $v_0$  a  $v_{3n-1}$  en  $G'$ , de longitud  $k + 1$ , entonces  $P = (P' \bmod n)$ <sup>2</sup> es camino de  $v_0$  a  $v_{n-1}$  en  $G$ , mínimo entre los que pasan por al menos dos aristas especiales.

<sup>1</sup>En rigor, tanto  $G'$  como  $G^*$  sirven a nuestro propósito, pero  $G'$  tiene la ventaja de que permitirá reducir el uso de memoria (potencialmente mucho si hay muchas aristas especiales) y constantes en la complejidad de la implementación.

<sup>2</sup> $P = P' \bmod n \Leftrightarrow P_i = v_{j \bmod n}$  donde  $P'_i = v_j, i = 0, \dots, k - 1$

**Demostración:** Hay que ver tres cosas respecto de  $P$ : que es camino de  $v_0$  a  $v_{n-1}$ , que pasa por al menos dos aristas especiales, y que es mínimo respecto a los caminos que cumplen ambas cosas.

Va a ser útil recordar que  $f_k : V \rightarrow V_k/f_k(v_i) = v_{k \times n + i}$  para  $k \in \{0, 1, 2\}$  son las biyecciones de los isomorfismos planteados en la sección anterior.

- Es camino: Ante todo, por definición del operador módulo vale que  $(\forall v_i \in P) 0 \leq i \bmod n \leq n-1$ . Es decir que todos los vértices de  $P$  pertenecen a  $G$ , y además empieza en  $v_0$  y termina en  $v_{n-1} = v_{(3n-1) \bmod n} = v_{(2n+n-1) \bmod n}$ . Queda ver que efectivamente nodos consecutivos en  $P$  son adyacentes en  $G$ .

Si  $v_i, v_j \in P$  son consecutivos entonces  $v_{h+i} \in P'$  tiene que ser adyacente con  $v_{h'+j} \in P'$ , donde  $h$  y  $h'$  son un par de constantes múltiplos de  $n$ . Por el contexto del problema  $h$  y  $h'$  solo pueden ser  $0, n$  o  $2n$ . Luego, si  $h = h' = k \times n$ , por definición de isomorfismo y por cómo está definida  $f_k$ , si  $v_{h+i}$  es adyacente a  $v_{h+j}$  en  $G_k$  (cosa que pasa, sino no podría pasar en  $G'$ ) entonces  $v_i$  es adyacente a  $v_j$  en  $G$ . Si  $h \neq h'$ , seguro que cada nodo es el extremo de un arco (pues están en diferentes niveles). Pero por construcción de  $G'$ , solo puede haber un arco entre  $v_{h+i}$  y  $v_{h'+j}$  si había una arista especial entre  $v_i$  y  $v_j$  en  $G$ , lo que significa que eran adyacentes. Luego, queda probado que  $P$  es un camino válido de  $v_0$  a  $v_{n-1}$ .

- Pasa por al menos dos aristas especiales: el nodo  $v_{3n-1}$  pertenece al nivel 2 de  $G'$ . Esto significa que paso por dos arcos. Un arco entre  $v_{k \times n + i}$  y  $v_{(k+1) \times n + j}$  en  $G'$  solo existe si  $(v_i, v_j) \in M$ . Por definición de  $P$ , si tal arco pertenece a  $P'$  entonces tal arista especial pertenece a  $P$ . Luego,  $P$  tiene al menos dos aristas de  $M$  (podría tener más, pues en el tercer nivel las aristas especiales siguen existiendo y no son arcos).
- Es mínimo: Supongamos que  $P$  no es óptimo para el problema. Entonces existe  $Q$  tal que  $|Q| < |P|$  y cumple con pasar por dos aristas de  $M$ . Construyamos  $Q'$ , un camino de  $v_0$  a  $v_{3n-1}$  en  $G'$ , basado en  $Q$ .

La idea es la siguiente: recorreremos las aristas de  $Q$  en orden y las vamos poniendo en  $Q'$  hasta encontrar la primer arista especial,  $(v_i, v_j)$ . En su lugar agregamos el arco  $(v_i, v_{n+j})$  a  $Q'$ . Seguimos completando  $Q'$  con aristas  $(f_1(u), f_1(w))$  por cada arista común  $(u, w)$  que encontramos en  $Q$ . Eventualmente llegamos a una segunda arista especial (por hipótesis existe),  $(v_s, v_t)$ , y en su lugar agregamos el arco  $(v_{n+s}, v_{2n+t})$  a  $Q'$ . Ahora bien, en este punto si  $Q$  es mínimo lo mejor que puede hacer es tomar el camino de distancia mínima desde  $v_t$  hasta  $v_{n-1}$ . Pero tal camino es isomorfo a un camino desde  $v_{2n+t}$  hasta  $v_{3n-1}$ , pues el tercer nivel es isomorfo a  $G$ . Por lo tanto agregando este camino a  $Q'$ , llegamos a que  $Q'$  es un camino de  $v_0$  a  $v_{3n-1}$  en  $G'$ .

Pero como  $|Q'| = |Q| < |P| = |P'|$ , llegamos a que hay un camino más corto que  $P'$  en  $G'$  que conecta los mismos vértices. Esto es absurdo, pues por hipótesis  $P'$  era camino mínimo. Luego, el absurdo provino de suponer que  $P$  no era óptimo para el problema.

Finalmente, queda demostrada la proposición.  $\square$

De hecho, la recíproca de esta proposición también vale. No lo probamos sin embargo porque no es necesario para la correctitud de la solución. La forma de probarlo sería similar igualmente.

### 1.2.3. Explicación del código

Notar que para las dimensiones del grafo que toma BFS no usamos  $n$  y  $m$  sino  $n'$  y  $m'$ , para no confundir con las dimensiones del problema original porque pueden ser diferentes, y de hecho por cómo lo vamos a usar, así va a ser.

---

**Algorithm 1** Pseudocódigo del procedimiento BFS
 

---

```

1: procedure BFS(ListaAdyacencia vs, vertice root, vertice target, int  $n'$ )  $\rightarrow$ 
   Vector<vertice>
2:   cola<vertice>  $c \leftarrow Vacía()$   $\triangleright O(1)$ 
3:   vector<int> distancia( $n'$ ,  $\infty$ )  $\triangleright O(n')$ 
4:   vector<vertice> acm( $n'$ ,  $-1$ )  $\triangleright O(n')$ 
5:   distancia[root]  $\leftarrow 0$   $\triangleright O(1)$ 
6:   acm[root]  $\leftarrow root$   $\triangleright O(1)$ 
7:   c.push(root)  $\triangleright O(1)$ 
8:   while  $\neg c.vacía?()$  do  $\triangleright O(n)$  veces
9:     actual  $\leftarrow c.pop()$   $\triangleright O(1)$ 
10:    VerticesAdyacentes vecinos  $\leftarrow vs[actual]$   $\triangleright O(1)$ 
11:    for  $v \in vecinos$  do  $\triangleright O(d(v))$  veces
12:      if distancia[ $v$ ] =  $\infty$  then  $\triangleright O(1)$ 
13:        distancia[ $v$ ]  $\leftarrow distancia[actual] + 1$   $\triangleright O(1)$ 
14:        acm[ $v$ ] = actual  $\triangleright O(1)$ 
15:        if  $v = target$  then  $\triangleright O(1)$ 
16:          break  $\triangleright O(1)$ 
17:          c.push( $v$ )  $\triangleright O(1)$ 
18:   int long_sol  $\leftarrow distancia[target] - 1$   $\triangleright O(1)$ 
19:   vector<vertice> solucion(long_sol, 0)  $\triangleright O(long\_sol) \subseteq O(m')$ 
20:   vertice  $v \leftarrow acm[target]$   $\triangleright O(1)$ 
21:   for int  $i$  desde long_sol - 1 hasta 0 do  $\triangleright O(m')$  veces
22:     solucion[ $i$ ]  $\leftarrow v$   $\triangleright O(1)$ 
23:      $v \leftarrow acm[v]$   $\triangleright O(1)$ 
24:   return solucion

```

---

La implementación de BFS que realizamos está compuesta por dos partes: la primera hasta la línea 17 inclusive, es la implementación clásica del algoritmo de búsqueda en anchura para determinar caminos mínimos, en particular modificada un poco para que termine a penas compute un camino hasta el nodo objetivo pues es el único que nos importa realmente; la segunda consiste en reconstruir el camino mínimo entre *root* y *target* a partir del árbol de caminos mínimos. Notar que la función tiene como precondition que efectivamente exista algún camino desde *root* hasta *target*.

Para la primer parte tenemos esencialmente tres estructuras importantes:

- una cola FIFO de vértices donde iremos encolando los vecinos del nodo en el que estamos actualmente y que todavía no hayamos visitado; la misma está implementada sobre una lista doblemente enlazada, lo que permite que las operaciones de encolar, desencolar y ver el siguiente elemento sean todas  $O(1)$ .



- un vector de distancias tal que la posición  $i$ -ésima del mismo guarda la distancia desde el *root* hasta el nodo  $i$  (o bien  $\infty$  si todavía no pasamos por  $i$ , o simplemente  $i$  no es alcanzable desde *root*).
- un vector de vértices que representará nuestro árbol de caminos mínimos desde el *root* hasta cualquier nodo, de forma que en la posición  $i$ -ésima del vector tendremos al padre del nodo  $i$  en el árbol (o bien -1, si todavía no pasamos por  $i$ , o simplemente no es alcanzable desde *root*).

Que la búsqueda es correcta es resultado inmediato de que el algoritmo es el BFS tradicional cuya correctitud ya está probada.

Una vez hallado un camino mínimo hasta el nodo *target*, queremos ahora armar un vector de vértices que contenga a todos los vértices de dicho camino. Como la distancia es la cantidad de vértices en el camino menos uno, entonces el vector tendrá que tener tamaño igual a la distancia más uno. Pero como no nos interesa que el primer y último nodos estén en el vector entonces nos queda que el largo del mismo será  $l = d(\text{root}, \text{target}) - 1$ . Luego, es cuestión de llenar las posiciones de este vector de atrás para adelante, pues *a priori* para cada nodo solo sabemos cual es su padre en el árbol de caminos mínimos. La última posición tendrá al padre del nodo *target*, la anteúltima al padre del padre y así. Iterando  $l$  veces llegamos a que en la posición inicial del vector hay un nodo que es hijo de *root* y ancestro de *target*.

Finalmente devolvemos este vector.

---

**Algorithm 2** Pseudocódigo del main
 

---

```

1: procedure MAIN
2:   int  $n$  ▷ Cantidad de nodos
3:   vector(vector(int))  $input$  ▷  $input[i]$  almacena los datos de la  $i$ -ésima arista pasada
4:    $inicializar(input, n)$  ▷ Leemos los datos pasados como parámetros e inicializamos
5:   ListaAdyacencia  $adj\_list(3 * n, VerticesAdyacentes())$  ▷  $O(3 \times n) = O(n)$ 
6:   for  $(v_1, v_2, e) \in input$  do ▷  $m$  veces
7:     if  $e = True$  then ▷  $O(1)$ 
8:        $adj\_list[v_1].push\_back(v_2 + n)$  ▷  $O(1)$ 
9:        $adj\_list[v_1 + n].push\_back(v_2 + 2 \times n)$  ▷  $O(1)$ 
10:       $adj\_list[v_2].push\_back(v_1 + n)$  ▷  $O(1)$ 
11:       $adj\_list[v_2 + n].push\_back(v_1 + 2 \times n)$  ▷  $O(1)$ 
12:     else
13:        $adj\_list[v_1].push\_back(v_2)$  ▷  $O(1)$ 
14:        $adj\_list[v_2].push\_back(v_1)$  ▷  $O(1)$ 
15:        $adj\_list[v_1 + n].push\_back(v_2 + n)$  ▷  $O(1)$ 
16:        $adj\_list[v_2 + n].push\_back(v_1 + n)$  ▷  $O(1)$ 
17:        $adj\_list[v_1 + 2 \times n].push\_back(v_2 + 2 \times n)$  ▷  $O(1)$ 
18:        $adj\_list[v_2 + 2 \times n].push\_back(v_1 + 2 \times n)$  ▷  $O(1)$ 
19:   vector<vertice>  $solucion \leftarrow bfs(adj\_list, 0, 3 \times n)$  ▷  $O(3n + 3m) = O(n + m)$ 
20:    $print(solucion.size() + 1)$ 
21:   for  $v \in solucion$  do
22:      $print(v \% n)$ 

```

---

Nuestra función main tiene tres partes importantes:

- El armado de la lista de adyacencias de  $G'$ .
- El llamado a BFS pasando como parámetros la lista de adyacencias anterior, tomando como *root* el nodo 0 y como target el  $3n-1$ . Dichos parámetros cumplen las precondiciones de BFS por el Lema 1.1 y por ser todas aristas de peso 1.
- La impresión del resultado. Acá es importantísimo notar que imprimimos los vértices módulo  $n$  pues lo que nos devuelve BFS son nodos del grafo  $G'$  y no de  $G$ . Por la Proposición 1.1 esto efectivamente constituye una solución al problema original.

### 1.3. Complejidad del algoritmo

La complejidad en peor caso de la solución es la complejidad de la función *main*. Omitiendo las partes de lectura y escritura de datos, tenemos que el costo de dicha función es el costo de armar el nuevo grafo más el costo de realizar *BFS* sobre él.

Viendo el algoritmo 2, el costo de armar el grafo es  $O(n + 6m) = O(n + m)$ . Vale destacar que esta complejidad es además claramente una cota inferior, pues el costo de armar el grafo nuevo depende únicamente de la cantidad de vértices y aristas, y no de las características topológicas particulares. Por lo tanto el algoritmo en general debe ser al menos  $\Omega(n + m)$ .

Por otra parte, observando el algoritmo 1, *BFS* tiene una complejidad en peor caso de

$$\begin{aligned}
 O(1 + 2n + 3 + 2n + (\sum_{i=0}^{n-1} d(v_i)) \times 5 + m + 1 + 2m) &= O(5 + 4n + 2m \times 5 + 3m) \\
 &= O(4n + 13m) \\
 &= O(n + m)
 \end{aligned} \tag{1}$$

Notar que en el primer término podemos escribir la sumatoria de los grados de todos los nodos debido a que en peor caso hará falta pasar por todos ellos, y por otra parte sabemos que pasamos por cada uno exactamente una vez. El segundo término resulta de agrupar y reemplazar la sumatoria por  $2m$  (cosa que podemos hacer pues es una identidad válida para todos los grafos).

Luego, la complejidad asintótica del algoritmo en peor caso es  $O(n + m + 3n + 3m) = O(4(n + m)) = O(n + m)$ . Por otra parte como dijimos que también era  $\Omega(n + m)$ , tenemos que es  $\Theta(n + m)$ .

De hecho, asintóticamente también lo es en mejor caso (cuando existe un camino de longitud 3): si bien *BFS* puede ser  $\Theta(1)$  debido a que nuestra implementación termina de buscar una vez que encuentra al nodo deseado, armar el grafo sigue siendo  $\Theta(n + m)$  en cualquier caso.

### 1.4. Performance del algoritmo

#### 1.4.1. Método de experimentación

## 2. El Imperio Contraataca

### 2.1. Explicación formal del problema

### 2.2. Explicación de la solución

#### 2.2.1. Explicación del código

#### 2.2.2. Pseudocódigo

#### 2.2.3. Correctitud

#### 2.2.4. Optimalidad

### 2.3. Complejidad del algoritmo

#### 2.3.1. Complejidad en peor caso

#### 2.3.2. Complejidad en mejor caso

### 2.4. Performance del algoritmo

#### 2.4.1. Método de experimentación

### 3. El Retorno del ~~que te~~ Jedi

#### 3.1. Explicación formal del problema

#### 3.2. Explicación de la solución

##### 3.2.1. Explicación del código

##### 3.2.2. Pseudocódigo

##### 3.2.3. Correctitud

##### 3.2.4. Optimalidad

#### 3.3. Complejidad del algoritmo

##### 3.3.1. Complejidad en peor caso

##### 3.3.2. Complejidad en mejor caso

#### 3.4. Performance del algoritmo

##### 3.4.1. Método de experimentación

## 4. Apéndice